

ВЫНУЖДЕННЫЕ КОЛЕБАНИЯ ЖИДКОСТИ В ДВУМЕРНОМ БАССЕЙНЕ ПЕРЕМЕННОЙ ГЛУБИНЫ

H.A. Евстигнеева

Морской гидрофизический институт
НАН Украины

г. Севастополь, ул. Капитанская, 2
E-mail: oaoi@alpha.mhi.iuf.net

Исследуются вынужденные колебания жидкости в бассейнах с параболическим профилем дна и переменной глубиной с боковыми стенками. Получены выражения для профиля свободной поверхности и горизонтальной составляющей скорости, проведен анализ их амплитудных функций, построены графики. Установлены зависимости характеристик волновых движений от формы бассейнов и параметров вынуждающих сил.

Введение. Математические модели волновых движений жидкости в ограниченных бассейнах представляют собой системы уравнений в частных производных с граничными условиями. При решении этих задач используем аналитические и численные методы.

В работах [1,2] анализируются свободные и вынужденные колебания жидкости без учета диссипативных сил в бассейнах с параболическим профилем дна и переменной глубиной с боковыми стенками.

В данной работе с учетом диссипативных сил решаются следующие задачи: задача о вынужденных колебаниях жидкости, возникающих под действием периодических по времени поверхностных давлений в бассейне с параболическим профилем дна и задача о вынужденных колебаниях жидкости в бассейне переменной глубины с боковыми стенками.

Задача о вынужденных колебаниях жидкости в бассейне с параболическим профилем дна, рассматриваемая в первой разделе статьи, решается аналитически.

Задача о вынужденных колебаниях жидкости в бассейне переменной глубины с боковыми стенками, рассматриваемая во втором разделе статьи, решается численно (методом Рунге-Кutta четвертого порядка).

1. Вынужденные колебания жидкости в бассейне с параболическим профилем дна. Рассмотрим вынужденные волны, возникающие в бассейне переменной

глубины под действием периодических по времени поверхностных давлений, представленных в комплексной форме

$$p_0(x,t) = p_1 \psi(x) e^{i\sigma t}. \quad (1.1)$$

Здесь σ – частота колебаний жидкости, $\psi(x)$ – известная функция, для которой выполняется условие

$$\max |\psi(x)| = 1.$$

Предполагая волны длинными и учитывая диссипативные силы, имеем в линейном приближении для нахождения $u(x,t)$ и $\zeta(x,t)$ систему двух уравнений

$$u_t = -g\zeta_x - \mu u - \rho^{-1} p_{0x}, \quad (1.2)$$

$$\zeta_t = -(uh)_x, \quad (1.3)$$

где u – горизонтальная составляющая скорости; ζ – профиль свободной поверхности; h – глубина бассейна; μ – коэффициент диссипации.

Решение системы (1.2)–(1.3) ищем в комплексном виде

$$u(x,t) = \tilde{u}(x) e^{i\sigma t}, \quad (1.4)$$

$$\zeta(x,t) = \tilde{\zeta}(x) e^{i\sigma t}. \quad (1.5)$$

Задача о вынужденных колебаниях жидкости в бассейне произвольной глубины $h(x)$ без вертикальных стенок сведена к решению уравнения

$$ghf_{xx} + (\sigma^2 - i\sigma\mu) f = i\sigma dgh\psi_x, \quad (1.6)$$

где

$$d = p_1 / \rho g, \quad f(x) = h(x)\tilde{u}(x). \quad (1.7)$$

Зная функцию $f(x)$, находим выражения для профиля свободной поверхности и горизонтальной составляющей скорости

$$\tilde{\zeta}(x) = (i/\sigma) f_x, \quad (1.8)$$

$$\tilde{u}(x) = f(x)/h(x). \quad (1.9)$$

Исследуем волны в бассейне, глубина которого меняется по параболическому закону

$$h(x) = h_0 \left(1 - x^2/a^2\right) \quad -a \leq x \leq a. \quad (1.10)$$

Требуя ограниченности горизонтальной составляющей скорости на границах бассейна ($x = \pm a$), имеем из (1.7) и (1.10)

$$f(\pm a) = 0. \quad (1.11)$$

Уравнение (1.6) допускает решение в виде многочлена n -ой степени. Рассмотрим случай $n=2$. Многочлен второй степени,

удовлетворяющий граничным условиям (1.11), имеет вид

$$f(x) = B_1(x^2 - a^2), \quad (1.12)$$

где B_1 – постоянный множитель.

Пусть функция $\psi_1(x)$ имеет вид

$$\psi_1(x) = \frac{x + a}{2a}. \quad (1.13)$$

Подставляя (1.10), (1.12), (1.13) в (1.6) находим выражение для B_1

$$B_1 = \frac{dc_0^2 \sigma (\sigma\mu - i(\sigma^2 - b_1^2))}{2a^3 \Delta_1}, \quad (1.14)$$

где

$$c_0^2 = gh_0, \quad b_1^2 = 2c_0^2/a^2, \quad (1.15)$$

$$\Delta_1 = (\sigma^2 - b_1^2)^2 + \sigma^2 \mu^2. \quad (1.16)$$

Для поверхностных давлений, профиля свободной поверхности и горизонтальной составляющей скорости получены следующие выражения

$$p_0(x, t) = p_1 \frac{x + a}{2a} \cos \sigma t, \quad (1.17)$$

$$\zeta_1(x, t) = \frac{dc_0^2 \alpha_1}{a^3 \Delta_1} x \cos(\sigma t + \gamma_1), \quad (1.18)$$

$$u_1(x, t) = -\frac{\sigma dc_0^2 \alpha_1}{2a h_0 \Delta_1} \sin(\sigma t + \gamma_1), \quad (1.19)$$

где

$$\alpha_1^2 = (\sigma^2 - b_1^2)^2 + (\mu\sigma)^2, \quad \gamma_1 = \arctg \frac{\sigma^2 - b_1^2}{\sigma\mu}.$$

Пусть

$$p_1 = 10 \text{ гПа}, \quad d = 10 \text{ см}, \quad 2a = 300 \text{ км},$$

$$h_0 = 2 \text{ км}, \quad \mu = \mu_1 = 10^{-1} \sigma_{11}, \quad (1.20)$$

где σ_{11} – частота, соответствующая первой mode свободных волн.

Для амплитудной функции профиля свободной поверхности из (1.5), (1.18) находим

$$\tilde{\zeta}_1(x) = D_1 x_1, \quad (1.21)$$

здесь

$$D_1 = \frac{dc_0^2 \alpha_1}{\Delta_1 a^2}, \quad x_1 = x/a. \quad (1.22)$$

Используя (1.15), (1.16), (1.20)–(1.22) и $\sigma = \sigma_{11}$, имеем

$$\tilde{\zeta}_1(x) = 0,49 x_1 \text{ м.} \quad (1.23)$$

Для амплитудной функции горизонтальной составляющей скорости из (1.4), (1.19) находим

$$\tilde{u}_1(x) = -\sigma dc_0^2 \alpha_1 / (2a \Delta_1 h_0). \quad (1.24)$$

Используя (1.15), (1.16), (1.20), (1.22) и $\sigma = \sigma_{11}$, получаем выражение для $\tilde{u}_1(x)$

$$\tilde{u}_1(x) = -0,024 \text{ м/с} \text{ (не зависит от } x).$$

Аналогично рассмотрены случаи $n = 3, 4$.

2. Вынужденные волны в бассейне переменной глубины с боковыми стенками.

Рассмотрим вынужденные волны, возникающие в ограниченном бассейне переменной глубины с боковыми стенками под действием периодических по времени поверхностных давлений (1.1).

Для нахождения $u(x, t)$ и $\zeta(x, t)$ используем (1.2)–(1.3).

Решение системы уравнений (1.2), (1.3) ищем в комплексном виде (1.4) и (1.5).

Задача для бассейна произвольной глубины $h(x)$ сведена к решению уравнения

$$g(h\tilde{u})_{xx} + (\sigma^2 - i\sigma\mu)\tilde{u} = i\sigma dg\psi_x. \quad (2.1)$$

Глубина бассейна (рис. 2.1) меняется по параболическому закону

$$h(x) = h_1 + h_2 \frac{a^2 - x^2}{a^2} \quad -a \leq x \leq a, \quad (2.2)$$

где h_1 – глубина боковой стенки.

На стенках бассейна выполняется условие

$$\tilde{u}(\pm a) = 0. \quad (2.3)$$

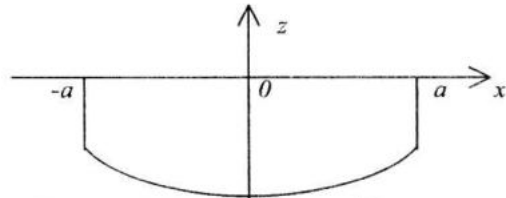


Рисунок 2.1 – Бассейн с параболическим профилем дна с боковыми стенками

Функция $\psi(x)$ имеет вид (1.13).

Используем числовые данные (1.20) и $\tau = 0,98 \cdot \tau_{11}$, $h_0 = h_1 + h_2 = 2 \text{ км}$. (2.4)

Здесь

$$\tau_{11} = 2\pi \left(\sqrt{\frac{2gh_0}{a^2}} \left(1 - \frac{a^2\mu^2}{8gh_0} \right) \right)^{-1}$$

τ_{11} соответствует первой mode свободных волн в бассейне с параболическим профилем дна без стенок.

Решение уравнения (2.1) с граничными условиями (2.3) имеет вид

$$\tilde{u}(x) = A_1 \tilde{u}_1(x) + A_2 \tilde{u}_2(x) + \tilde{u}_3(x), \quad (2.5)$$

где $\tilde{u}_1(x)$ – решение однородного уравнения (2.1) с начальными условиями

$$\tilde{u}_1(-a) = 1, \quad \tilde{u}_{1x}(-a) = 0,$$

$\tilde{u}_2(x)$ – решение однородного уравнения (2.1) (при $d = 0$) с начальными условиями
 $\tilde{u}_2(-a) = 0, \quad \tilde{u}_{2x}(-a) = 1,$

$\tilde{u}_3(x)$ – решение неоднородного уравнения (2.1) с начальными условиями
 $\tilde{u}_3(-a) = 1, \quad \tilde{u}_{3x}(-a) = 0.$

Численные значения $\tilde{u}_1(x), \tilde{u}_2(x), \tilde{u}_3(x)$ получены с помощью метода Рунге-Кутта четвертого порядка с шагом $\Delta x = 100 \text{ м}$.

При $h_1 = 5 \text{ м}$, используя (2.1)–(2.5) и (1.20), получаем численные значения для амплитудных функций (таблица 2.1), при помощи вычислительного пакета *Maple9.5*.

Таблица 2.1 – Значения амплитудных функций $\tilde{u}(x)$ и $\tilde{\zeta}(x)$ при $h_1 = 5 \text{ м}$

$x(\text{м})$	$\tilde{u}(x)(\text{см}/\text{с})$	$\tilde{\zeta}(x)(\text{см})$
-150000	0	45,53
-149950	0,48	35,96
-149900	0,80	29,72
-149000	1,94	7,23
-100000	2,30	0,18
-1500	2,31	$1,49 \cdot 10^{-3}$
0	2,31	$2,1 \cdot 10^{-3}$
1500	2,31	$3,3 \cdot 10^{-3}$
100000	2,30	0,18
149000	1,94	7,19
149900	0,76	28,50
149950	0,51	37,18
150000	0	43,56

Максимальное значение функции $\tilde{u}(x)$ достигается при $x = 0$ ($\tilde{u}(0) = 2,31 \text{ см}/\text{с}$). При $-150000 \leq x \leq 0$ $\tilde{u}(x)$ возрастает (меняется от 0 до $2,31 \text{ см}/\text{с}$). При $0 \leq x \leq 150000$ $\tilde{u}(x)$ убывает (меняется от $2,31$ до 0 $\text{см}/\text{с}$). Максимальные значения $\tilde{\zeta}(x)$ достигаются при $x = \pm a$ ($43,56 \text{ см}$), минимальное при $x = -1500$ ($1,49 \cdot 10^{-3} \text{ см}$). При $-150000 \leq x \leq -1500$ $\tilde{\zeta}(x)$ убывает (меняется от 43,53 до $1,49 \cdot 10^{-3} \text{ см}$). При $-1500 \leq x \leq 150000$ функция возрастает (меняется от $1,49 \cdot 10^{-3}$ до $43,56 \text{ см}$).

Аналогично при $h_1 = 10 \text{ м}$ и 15 м , получены численные значения для $\tilde{u}(x)$ и $\tilde{\zeta}(x)$.

Максимальное значение $\tilde{u}(x)$ при $h_1 = 15 \text{ м}$ больше максимального значения $\tilde{u}(x)$ при $h_1 = 10 \text{ м}$ и 5 м (2,33; 2,32; 2,31 м).

Чем больше h_1 , тем больше значение амплитудной функции профиля свободной поверхности. Максимальное по модулю значение $\tilde{\zeta}(x)$ достигается при $h_1 = 15 \text{ м}$.

Из (1.1), выделяя мнимую часть, получаем выражение для поверхностных давлений

$$p_0(x,t) = p_1 \frac{x+a}{2a} \sin \sigma t, \quad (2.6)$$

где p_1, a, σ определяются из (1.20) и (2.4).

Из (1.5), (1.20), (2.1)–(2.4) находим выражение для профиля свободной поверхности

$$\zeta_1(x,t) = (\zeta_{11} + i\zeta_{12}) e^{i\sigma t}. \quad (2.7)$$

Из (2.7), выделяя мнимую часть $\zeta_1(x,t)$, имеем

$$\zeta(x,t) = \tilde{\zeta}(x) \sin(\sigma t + \gamma_1), \quad (2.8)$$

где

$$\tilde{\zeta}(x) = \sqrt{\zeta_{11}^2 + \zeta_{12}^2}, \quad \gamma_1 = \operatorname{arctg}(\zeta_{12}/\zeta_{11}).$$

Аналогично для горизонтальной составляющей скорости из (1.4), (1.20), (2.1)–(2.4) получаем

$$u(x,t) = \tilde{u}(x) \sin(\sigma t + \gamma_2), \quad (2.9)$$

где

$$\tilde{u}(x) = \sqrt{u_{11}^2 + u_{12}^2}, \quad \gamma_2 = \operatorname{arctg}(u_{12}/u_{11}).$$

Заключение. В рамках работы найдено решение задачи для бассейна с параболическим профилем дна для линейной амплитуды давлений, для амплитуд давлений, представленных многочленами второй и третьей степеней.

В задаче о вынужденных колебаниях жидкости в бассейне с боковыми стенками показано, что с увеличением глубины боковой стенки возрастает амплитуда волн на свободной поверхности.

ЛИТЕРАТУРА

1. Н.Е.Кочин, И.А.Кибель, Н.В.Розе
Теоретическая гидромеханика. – М.: Гос-техиздат, 1955. – 560 с.

2. Л.В.Черкесов, В.А.Иванов, С.М.Хартиев. Введение в гидродинамику и теорию волн. – С.-Пб. : Гидрометеоиздат, 1992.
– 264 с.